文章编号: 1674 - 7054(2017) 03 - 0284 - 08

# 木薯中性/碱性转化酶基因家族 11 个成员 在染色体上的定位

朱利广12,刘平平1 欧祥梅1,王 英1,高和琼1,庄南生1

(1. 海南大学 热带农林学院,海口 570228; 2. 中国热带农业科学院 热带作物品种资源研究所,海南 儋州 571737)

摘 要:中性/碱性转化酶(Alkaline or neutral invertase, N/A-lnv) 是木薯淀粉合成过程中的一种关键酶。笔者以木薯华南6号古铜期嫩叶为材料制备染色体标本,利用荧光原位杂交和原位 PCR 技术对 N/A-lnv 基因家族的11个成员进行了物理定位。结果表明,基因 MeNINV5,MeNINV9 和 MeNINV10均位于第4号染色体上,其中基因 MeNINV9 和 MeNINV10位于短臂上 到信号点的百分距离分别为68.52 和95.35 基因 MeNINV5位于长臂上 到着丝粒的百分距离为22.71;基因 MeNINV4 和 nINV1均位于第6号染色体长臂上,到着丝粒的百分距离为32.71;基因 MeNINV6 和 MeNINV7分别位于第7号和第17号染色体的长臂上,信号点到着丝粒的百分距离分别是15.38和57.97;基因 MeNINV7分别位于第7号和第17号染色体的长臂上,信号点到着丝粒的百分距离分别是15.38和57.97;基因 MeNINV1,MeNIN,V2,MeNINV3和MeNINV8分别位于第11号、第9号、第5号和第16号染色体的短臂上,信号位点到着丝粒的百分距离分别是40.1051.88,91.75和76.33。中性/碱性转化酶基因家族内部部分成员之间存在连锁关系。研究结果可为木薯淀粉的高效积累机制及木薯种质遗传改良提供分子细胞遗传学依据。

关键词: 木薯; 中性/碱性转化酶基因家族; 荧光原位杂交; 原位 PCR; 物理定位

中图分类号: Q 789 文献标志码: A DOI: 10. 15886/j. cnki. rdswxb. 2017. 03. 006

中性/碱性转化酶(Alkaline or neutral invertase N/A-Inv) 是高等植物中决定糖类库组织分配的一种关 键酶[1] 其功能是将蔗糖不可逆地分解为葡萄糖和果糖[2]。研究人员已从枳、橡胶树、欧柑等多种植物中 克隆分离出了 N/A-Inv 基因[3-5] ,并对其功能进行了大量的研究: 在枳中 ,N/A-Inv 基因在非生物胁迫耐 受性中起积极作用 $^{[6]}$ ; 在橡胶树中 基因 HbNINa 参与了蔗糖的利用 在橡胶树叶片发育过程中具有重要 作用[4]; 在 '丰蜜二号' 甜瓜中,叶片中 N/A-Inv 含量的提高可以促进蔗糖的积累[7]; 在胡萝卜中,N/A-Inv 基因参与了植株的生长发育 $^{[8]}$ ;在白脉根中, $1 \land N/A-Inv$ 基因的缺失会严重影响其生长和花器官发 育[9]。木薯(Manihot esculenta Crantz)是热带地区重要的能源植物和粮食作物。Yao 等已从木薯中克降出 了 N/A-Inv 基因家族的 11 个成员(  $MeNINV1\sim 10$  和 nINV1) ,并对其表达情况进行了分析 ,发现基因 MeN-INV1 MeNINV6 MeNINV10 nINV1 均在叶片中高度表达 而且基因 MeNINV1 和 nINV1 还在块茎中表达 推 测这些基因在蔗糖水解过程中起重要作用,并参与了淀粉积累的过程;该研究还发现,在低温胁迫下、N/ A-Inv 基因会增强表达,从而提高可溶性糖、蔗糖、还原糖的含量,增强木薯抗逆性[10]。但是,这些基因在 染色体上的位置尚未见报道。荧光原位杂交(fluorescence in situ hybridization ,FISH)是一种在染色体或 DNA 纤维上对已知 DNA 序列进行定位的细胞遗传学技术[11] ,其原理是在适当的外部条件下 ,以碱基互 补配对为原则 将被荧光标记过的探针与染色体上的目标 DNA 序列杂交 然后通过荧光显微镜来检测荧 光信号,从而完成对目的片段的定位、定量等工作[12]。原位 PCR 技术是一种进行目的核酸片段细胞内检 测和定位的分子技术 ,其工作原理是通过改变细胞通透性等手段, 达到在细胞内对目的序列进行 PCR 扩

收稿日期: 2017 - 04 - 17 修回日期: 2017 - 05 - 10

基金项目: 中央级公益性科研院所基本科研业务费专项资金资助项目(1630032016008)

作者简介: 朱利广(1990 – ) ,男 ,海南大学热带农林学院 2014 级硕士生. E-mail: 770219387@ qq. com 通信作者: 庄南生(1962 – ) ,男 教授. 研究方向: 热带作物遗传育种. E-mail: zhuangns@ 163. com 增的目的,然后结合原位杂交或免疫反应、荧光检测等手段使目的序列带上荧光信号,从而完成对目的序列的检测。目前,FISH 和原位 PCR 技术是进行植物功能基因物理定位的主要手段。笔者利用 FISH 和原位 PCR 技术对木薯 N/A-Inv 基因家族 11 个成员进行了物理定位分析,明确了淀粉合成与代谢相关基因在染色体上的分布特征及相互之间的位置关系,本研究结果可为木薯淀粉的高效积累机制及木薯种质遗传改良提供分子细胞遗传学依据。

#### 1 材料与方法

- 1.1 采样及预处理 材料来自海南大学热带农林学院基地种植的木薯华南 6 号( Manihot esculenta Crantz. cv. M. SC6) 。连续晴天时 ,于上午 8: 30 ~ 10: 00 取木薯古铜期嫩叶 ,置于预冷的对二氯苯饱和溶液中 ,预处理 1.5 h ,卡诺氏固定液( 无水乙醇: 冰醋酸 = 3: 1) 4 ℃固定过夜。75% 90% ,100% 酒精脱水各 5 min ,最后置于 70% 酒精中 -20 ℃保存备用。
- 1.2 木薯 SC6 染色体标本的制备 借鉴木薯根尖制片方法和橡胶叶片制片方法进行 $^{[13-14]}$ 。采用酶解去壁低渗法制片 经预处理过的古铜期嫩叶  $^{37}$  °C条件下混合酶液 $^{(5\%)}$  纤维素酶和  $^{4\%}$  果胶酶) 中酶解  $^{4.5}$  h,低渗固定后涂片  $^{5\%}$  Giemsa 染液染色  $^{12}$  min 競检。
- 1.3 特异引物及目的片段的获得 Yao 等已完成对木薯 N/A-Inv 基因家族 11 个成员的克隆 ,并将其连接到质粒上进行了保存  $^{[10]}$  。笔者在此基础之上对这些基因进行 PCR 扩增以获得目的片段 ,所用特异引物序列均来自中国热带农业科学院热带生物技术研究所郭建春课题组,基因 MeNINV1 2 ,3  $\mu$  7 8 ,10 扩增所用模板来自该课题组的含目的片段的质粒 基因 MeNINV5 6 9 和 nINV1 扩增所用模板是木薯 SC6 的基因组 DNA。
- 1.4 荧光原位杂交 将 PCR 扩增产物用乙醇沉淀法纯化后 ,用 DIG/BIO-Nick Translation Mix for in situ probes( Roche) 试剂盒制成探针 参照刘平平  $^{[15]}$ 的方法进行 FISH。 取染色体标本在 70 ℃烘片老化 2 h ,置于 70 ℃水浴预热的 70% 甲酰胺中变性 5 min 后依次用  $^{-20}$  ℃ 预冷的 75%  $^{90}$ %  $^{100}$ % 酒精脱水 5 min;风干后滴加 30  $^{\mu}$ L 变性过的杂交液 放入杂交仪中启动程序: 90 ℃  $^{10}$  min; 37 ℃  $^{20}$  h。 待程序进行结束后,将玻片于 42 ℃下依次用  $^{2}$  × SSC  $^{20}$ % 去离子甲酰胺  $^{1}$  × PBS 各洗脱  $^{10}$  min 后加荧光染料( 所加染料抗体成分与杂交液中探针的类型相对应) 染色并进行两步信号级联放大;用  $^{1}$  × PBS  $^{5}$  min  $^{1}$  × PBS  $^{6}$  8 min 洗脱 最后加  $^{10}$   $^{10}$   $^{10}$   $^{10}$  DAPI( 含抗淬灭剂 DABCO) 复染。
- 1.5 原位 PCR 参照叶光燕<sup>[16]</sup>的木薯原位 PCR 技术流程 在经预处理、脱水后的玻片上滴加 50  $\mu$ L PCR 反应液 在原位 PCR 仪中进行原位扩增; 扩增完成后玻片置于 37  $^{\circ}$ C 0.1 × PBS 溶液中洗脱 5 min; 然后用 5% BSA 37  $^{\circ}$ C 孵育 20 min 再用 20  $\mu$ g mL <sup>-1</sup>的 Anti-DIG-Fluorescein 在同样的温度下孵育 1 h; 最后用 40  $\mu$ L 的 DAPI(含抗淬灭剂 DABCO) 复染。
- 1.6 镜检及分析 用荧光显微镜 BX51TR-32FA1-A03 镜检并拍照 "Photoshop 处理后根据 Song 等<sup>[17]</sup>的信号位置计算方法 参照冯耀文等<sup>[18]</sup>的木薯 SC6 的核型数据确定信号位点在染色体上的位置 计算公式为

 $\dot{t}$  增信号位点的百分距离 =  $\frac{\dot{t}$  曾信号位点到着丝点的距离( $\mu$ m)  $\times$  100  $\dot{t}$  扩增信号位点所在染色体臂的长度( $\mu$ m)

#### 2 结果与分析

2.1 *MeNINV*5 和 *nINV*1 基因的原位 PCR 检测及定位分析 以基因 *MeNINV*5 和 *nINV*1 的特异引物在 用木薯 SC6 嫩叶制成的染色体标本上进行原位 PCR 检测 结果如图 1 2。图 1 2 可见: 在细胞有丝分裂 的间期、前期和中期 基因 *MeNINV*5 和 *nINV*1 均能检测到 1 到 2 个信号点(图 1A ~ C 图 2A ~ B) 阴性对 照中则检测不到信号点(图 1D 图 2C)。说明这 2 个基因在木薯 SC6 基因组中为单拷贝基因。对含有信号点的中期细胞进行核型分析 结果表明 基因 *MeNINV*5 和 *nINV*1 分别位于第 4 6 号染色体的长臂上 基因位点到着丝粒的百分距离分别是 22.71 和 80.71(图 1E 图 2D)。

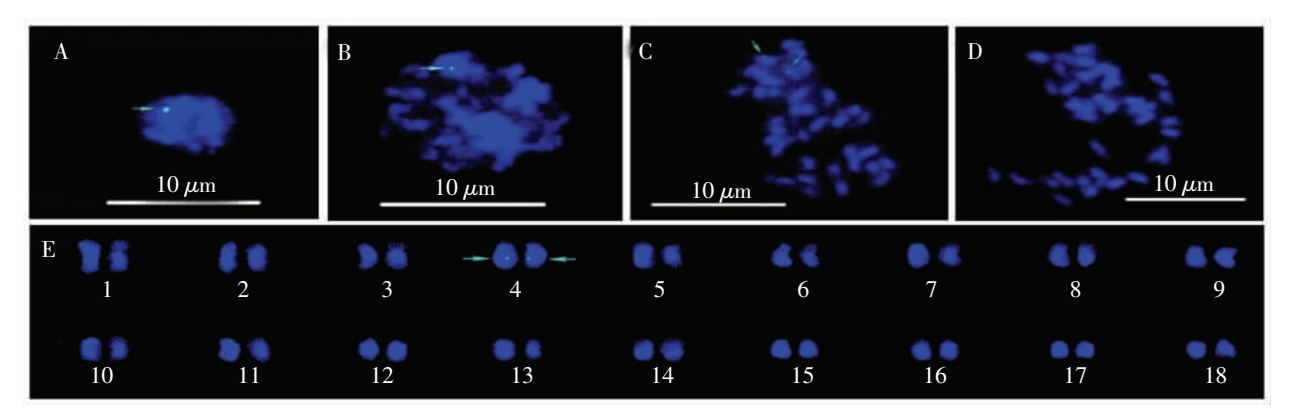


图 1 MeNINV5 基因原位 PCR 结果图及核型 绿色箭头所示为 MeNINV5 的信号位点

A: 间期:B:前期:C:中期:D: 阴性对照:E:中期细胞核型图

Fig.1 The results of  $in\ situ\ PCR$  and karyotype of MeNINV5 gene Green arrows indicated the signal of MeNINV5

A: Interphase; B: Prophase; C: Metaphase; D: Negative control; E: Karyogram of metaphase cell (C)

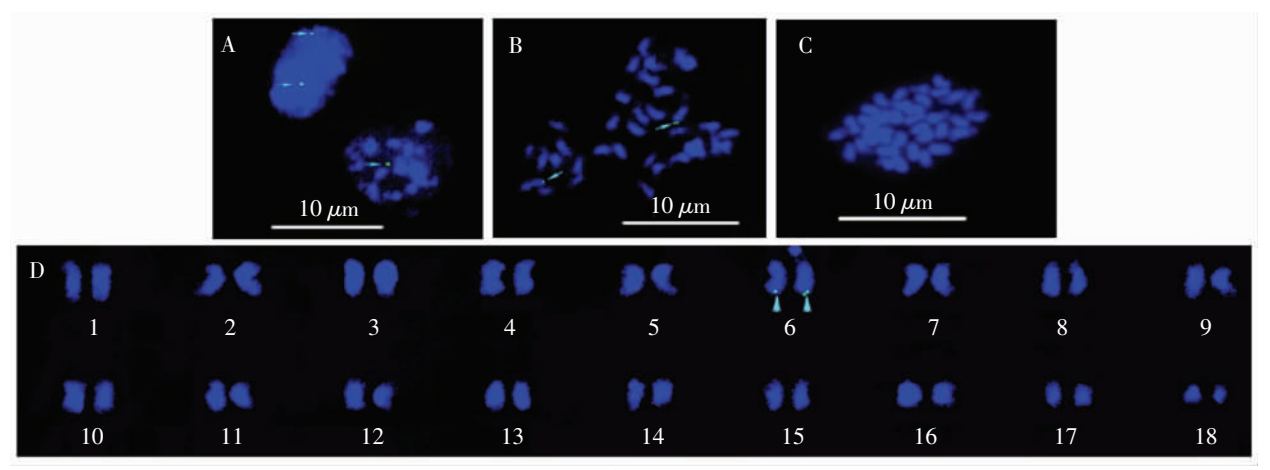


图 2 nINV1 基因原位 PCR 结果图及核型 绿色箭头所示为 nINV1 的信号位点

A:间期和前期;B:间期;C:阴性对照;D:中期细胞核型

Fig.2 The results of in situ PCR and karyotype of nINV1 gene

Green arrows indicated the signal of nINV1

A: Interphase and Prophase; B: Metaphase; C: Negative control; D: Karyogram of metaphase cell (B)

- 2.2 MeNINV2 和 MeNINV3 基因的 FISH 检测与物理定位分析 以 DIG 标记的 MeNINV2 和以 BIO 标记的 MeNINV3 为双探针,对用木薯 SC6 嫩叶制成的染色体标本进行双色 FISH 检测的定位分析 结果(图 3) 表明 在细胞有丝分裂的间期、前期和中期,两个基因都能检测到 2 个信号点(图 3A ~ C),阴性对照的细胞中则检测不到信号点(图 3D),说明基因 MeNINV2 和 MeNINV3 在木薯 SC6 基因组中均为单拷贝基因。对含有信号点的中期细胞进行核型分析 结果表明 基因 MeNINV2 和 MeNINV3 分别位于木薯 SC6 第 9 号和第 5 号染色体短臂上 信号位点到着丝粒的百分距离分别是 51.88 和 91.75(图 3E)。
- 2.3 MeNINV4 和 MeNINV8 基因的 FISH 检测与物理定位分析 以 DIG 标记的 MeNINV4 和以 BIO 标记的 MeNINV8 为双探针 对用木薯 SC6 嫩叶制成的染色体标本进行双色 FISH 检测的定位分析 结果(图 4)表明 在细胞有丝分裂的间期、前期和中期 2 个基因都能检测到 2 个信号点(图  $4A \sim C$ ) 阴性对照的细胞中则检测不到信号点(图 4D) 说明基因 MeNINV4 和 MeNINV8 在木薯 SC6 基因组中均为单拷贝基因。对含有信号点的中期细胞进行核型分析 结果表明 基因 MeNINV4 和 MeNINV8 分别位于木薯 SC6 第 6 号染色体长臂和第 16 号染色体短臂上,信号位点到着丝粒的百分距离分别是 43.16 和 76.33(图 4E)。

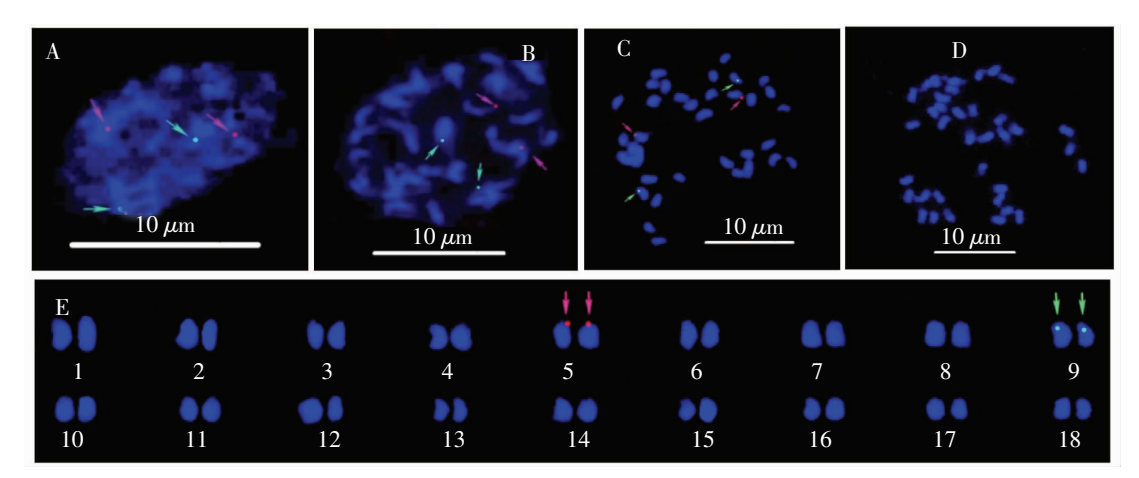


图 3 MeNINV2 和 MeNINV3 基因的 FISH 结果图及核型 红色箭头所示为 MeNINV3 的信号位点;绿色箭头所示为 MeNINV2 的信号位点 A:间期;B:前期;C:中期;D:阴性对照;E:中期细胞核型图

Fig.3 The result of *MeNINV2* and *MeNINV3* gene detected by FISH Red arrows indicated the signal of *MeNINV3*; Green arrows indicated the signal of *MeNINV2* A: Interphase; B: Prophase; C: Metaphase; D: Negative control; E: Karyogram of metaphase cell

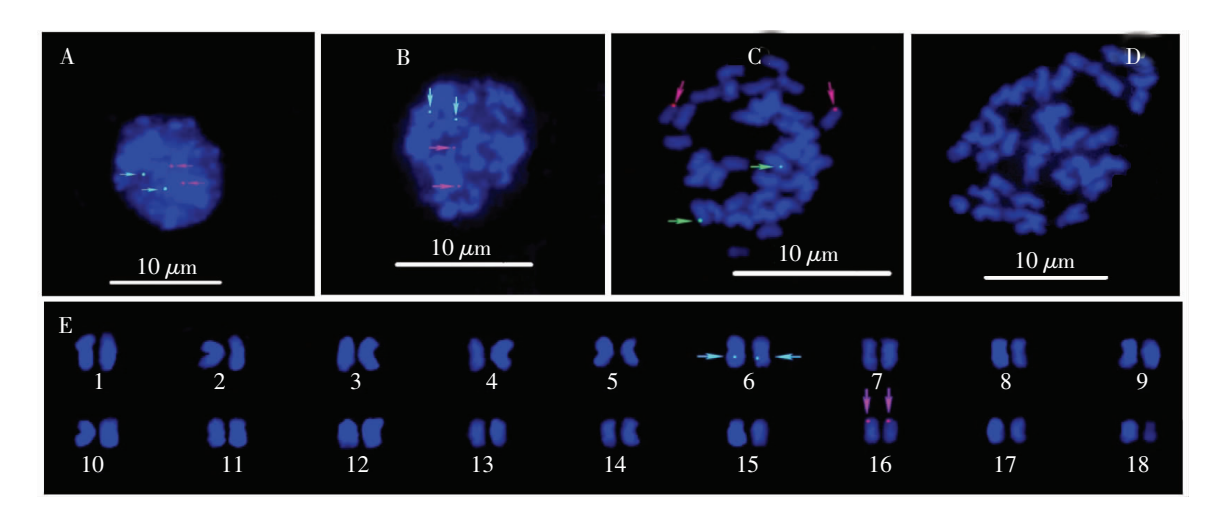


图 4 MeNINV4 和 MeNINV8 基因的 FISH 结果图及核型 红色箭头所示为 MeNINV8 的信号位点;绿色箭头所示为 MeNINV4 的信号位点 A:间期;B:前期;C:中期;D:阴性对照;E:中期细胞核型图 Fig.4 The result of MeNINV4 and MeNINV8 gene detected by FISH

Red arrows indicated the signal of *MeNINV*8; Green arrows indicated the signal of *MeNINV*4 A: Interphase; B: Prophase; C: Metaphase; D: Negative control; E: Karyogram of metaphase cell

- 2.4 MeNINV9 和 MeNINV10 基因的 FISH 检测与物理定位分析 以 DIG 标记的 MeNINV9 和以 BIO 标记的 MeNINV10 为双探针 对用木薯 SC6 嫩叶制成的染色体标本进行双色 FISH 检测的定位分析 ,结果 (图 5) 表明 在细胞有丝分裂的间期、前期和中期 2 个基因都能检测到  $1 \sim 2$  个信号点(图  $5A \sim C$ ) ,阴性 对照的细胞中则检测不到信号点(图 5D),说明基因 MeNINV9 和 MeNINV10 在木薯 SC6 基因组中均为单拷贝基因。对含有信号点的中期细胞进行核型分析 ,结果表明 ,基因 MeNINV9 和 MeNINV10 均位于木薯 SC6 第 4 号染色体的短臂上,所以二者互为连锁基因,其信号位点到着丝粒的百分距离分别是 68.52 和 95.35(图 5E)。
- 2.5 MeNINV1 MeNINV6 和 MeNINV7 基因的 FISH 检测与物理定位分析 基因 MeNINV1 6 7 分别用 DIG 标记为探针 然后分别进行单色 FISH 检测和定位分析。结果(图 6~8)表明 在细胞有丝分裂的间

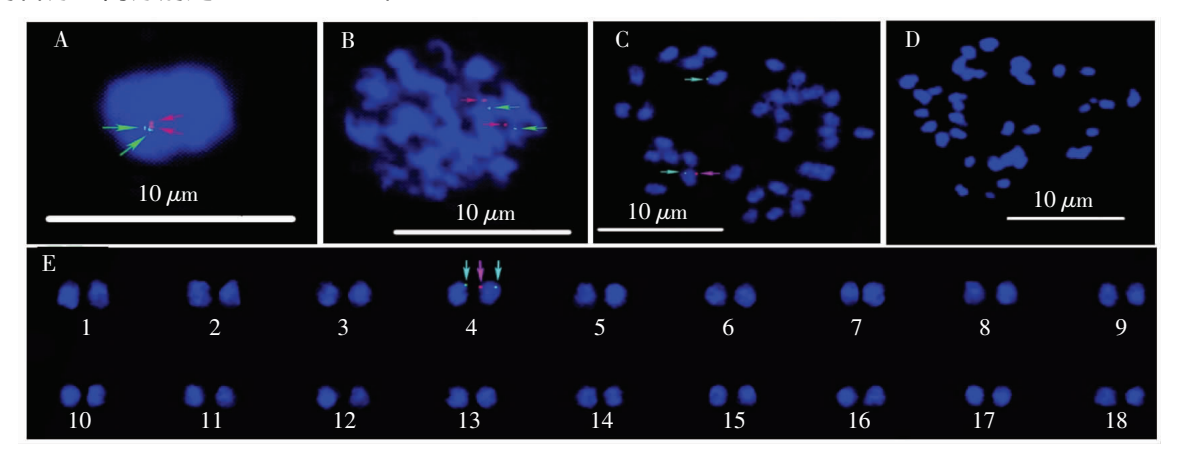


图 5 MeNINV9 和 MeNINV10 基因的 FISH 结果图及核型 红色箭头所示为 MeNINV10 的信号位点;绿色箭头所示为 MeNINV9 的信号位点 A:间期;B:前期;C:中期;D:阴性对照;E:中期细胞核型图

Fig.5 The result of MeNINV9 and MeNINV10 gene detected by FISH Red arrows indicated the signal of MeNINV10; Green arrows indicated the signal of MeNINV9 A: Interphase; B: Prophase; C: Metaphase; D: Negative control; E: Karyogram of metaphase cell

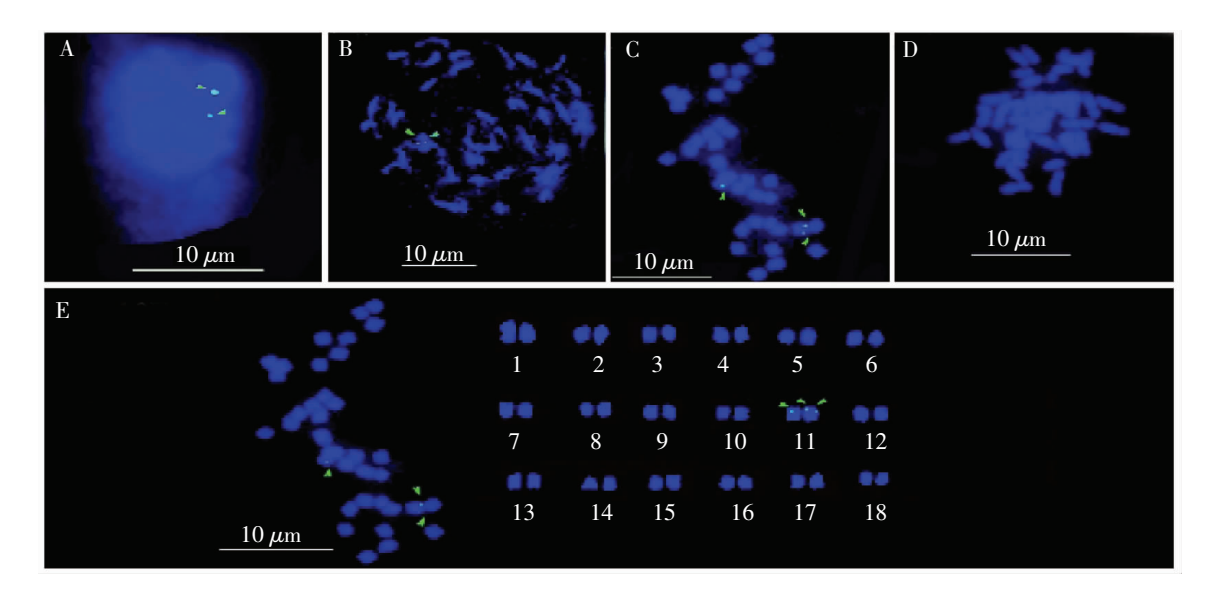


图 6 MeNINV1 基因的 FISH 结果图及核型 绿色箭头所示为 MeNINV1 的信号位点

A:间期;B:前期;C:中期;D:阴性;E:中期细胞的核型图

Fig.6 The result of MeNINV1 gene detected by FISH

Green arrows indicated the signal of MeNINV1

A: Interphase; B: Prophase; C: Metaphase; D: Negative control; E: Karyogram of metaphase cell

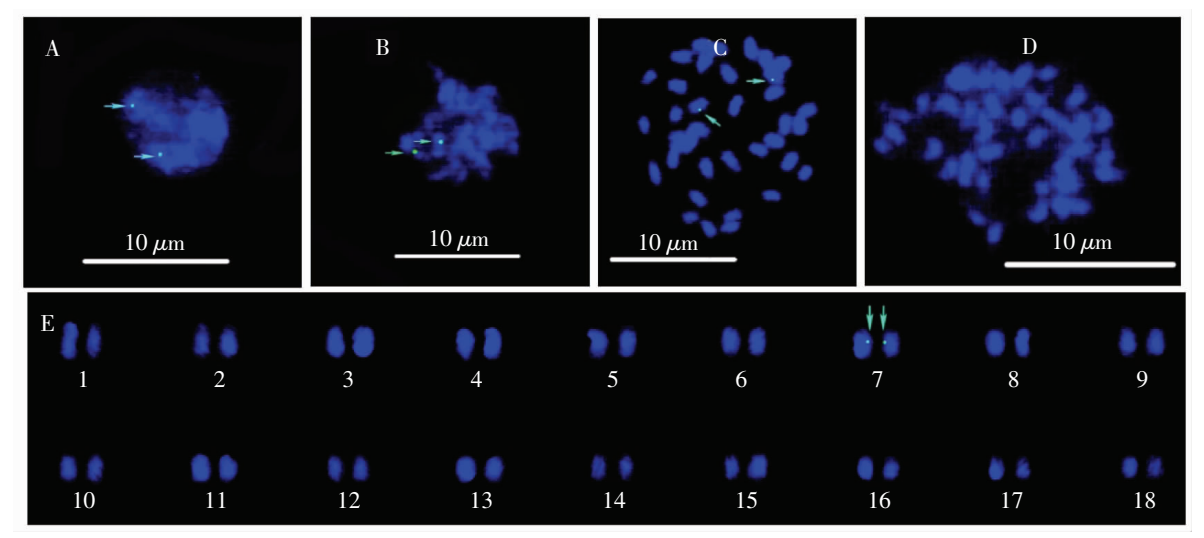
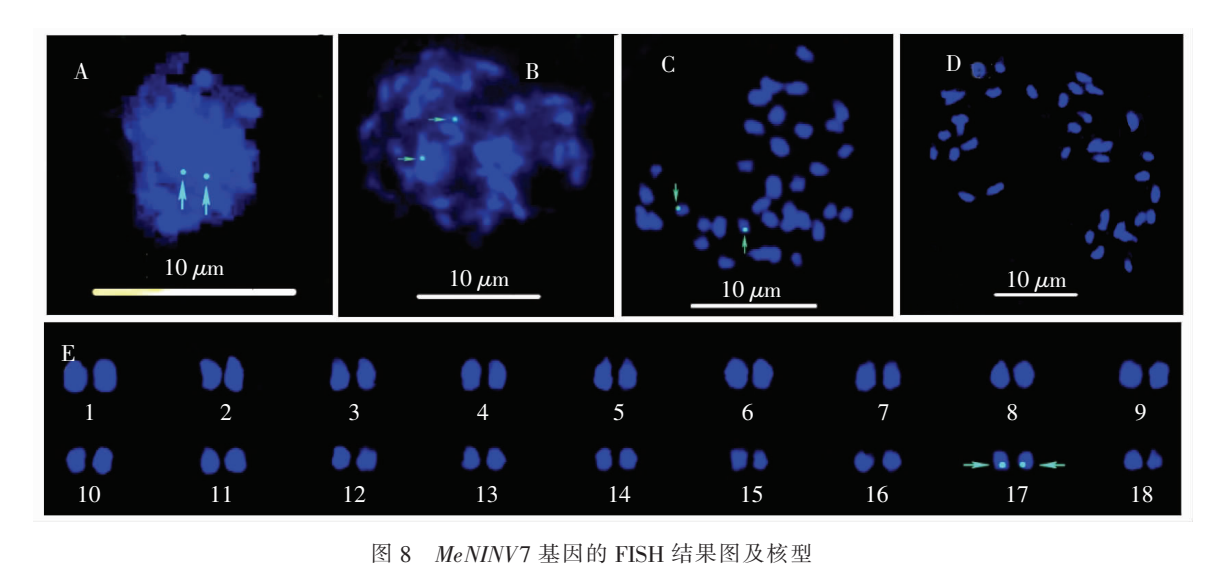


图 7 MeNINV6 基因的 FISH 结果图及核型 绿色箭头所示为 MeNINV6 的信号位点 A:间期;B:前期;C:中期;D:阴性对照;E:中期细胞核型图

Fig.7 The result of *MeNINV6* gene detected by FISH Green arrows indicated the signal of *MeNINV6* 

A: Interphase; B: Prophase; C: Metaphase; D: Negative control; E: Karyogram of metaphase cell



绿色箭头所示为 MeNINV7 的信号位点 A:间期;B:前期;C:中期;D:阴性对照;E:中期细胞核型图

Fig.8 The result of *MeNINV7* gene detected by FISH Green arrows indicated the signal of *MeNINV7* 

A: Interphase; B: Prophase; C: Metaphase; D: Negative control; E: Karyogram of metaphase cell

2.6 N/A-Inv 基因家族各成员在核型中的位置关系分析 根据木薯 SC6 的核型数据 [18] 以及对 N/A - Inv 基因家族 11 个成员物理定位的结果,绘制出了含有各基因位点的核型模式图(图 9)。从图 9 可见基因 MeNINV5 MeNINV9 MeNINV10 均位于第 4 号染色体上,互为连锁基因;基因 MeNINV4 和 nINV1 均位于第 6 号染色体上,互为连锁基因;基因 MeNINV1、MeNINV2、MeNINV3 MeNINV6 MeNINV7 和 MeNINV8 分别位于第 11 9 5 7 17 和 16 号染色体上,互为独立基因。由此说明,中性/碱性转化酶基因家族内部部分成员之间存在连锁关系。

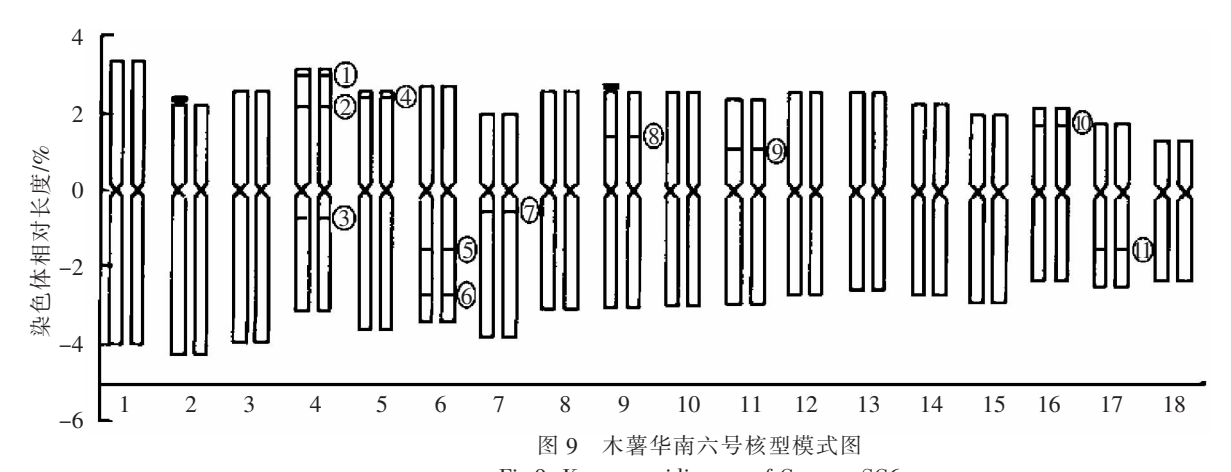


Fig.9 Karyotype idiogram of Cassava SC6 注(Note):①:MeNINV10; ②:MeNINV9; ③:MeNINV5; ④:MeNINV3; ⑤:MeNINV4; ⑥:nINV1; ⑦:MeNINV6; ⑧:MeNINV2; ⑨:MeNINV1; ⑩:MeNINV8; ⑪:MeNINV7

#### 3 讨论

FISH 是进行功能基因物理定位的常用方法,但是如果基因组中存在与靶序列同源性较高的序列,进行 FISH 检测时可能会检测到非特异性信号。本研究进行物理定位的 11 个基因中,基因 MeNINV7 和 MeNINV10 同源性为 86.9% 基因 nINV1 和 MeNINV4 同源性为 76.9%,同源性都比较高,但笔者分别用 MeNINV4 MeNINV7 或 MeNINV10 的 DNA 序列为探针进行 FISH 检测时,并没有出现多信号点的问题。原因是 2 对基因片段之间同源性虽然比较高,但其同源区域都是断续的,在杂交时相似片段之间的结合并不紧密;另外,笔者在杂交液中添加了大量的鲑鱼精 DNA 作为封阻剂,并在杂交后进行了严格的洗脱。所以在检测时没有出现非特异性信号。此研究中,在对某些基因进行定位时,很多细胞中并不能同时检测到一对儿信号点,猜测原因是: 在预处理的过程中,染色体标本变性不足,使得部分位置的核酸双链没有完全打开;在进行洗脱时,甲酰胺的浓度或洗脱的温度太高,将部分信号洗脱掉了,导致了假阴性。目前,尚未见到针对 N/A-Inv 基因家族进行分子标记定位的报道。

研究人员已先后对木薯淀粉分支酶基因(SBEI,SBEII)、颗粒结合型淀粉合成酶基因(GBSSI,GB-SSII)、延长因子(MeEFI)、己糖激酶基因(MeHXK2) 和蔗糖转运蛋白基因(SUT4.1,SUT1,SUT4.2,SUT2) 等功能基因进行了物理定位 [15,19-20],比较 N/A-Inv 基因与这些已定位基因的位置关系 MeNINV6 基因与 SBEII 和 SUT4.1 基因均属于第 7 号染色体上的基因,三者存在连锁关系; MeNINV1 与 GBSSII 基因均位于 11 号染色体的短臂上,两者之间存在连锁关系; MeNINV2 和 SBEI 基因均位于第 12 号染色体上,属于连锁关系; MeNINV7 与基因 SUT2 均位于第 17 号染色体上,两者之间同样具有连锁关系。

### 参考文献:

- [1] 蓝基贤 唐朝荣. 高等植物中转化酶生理生化特性的研究进展[J]. 热带作物学报 2012 33(9):1702-1707.
- [2] Winter H ,Huber S C. Regulation of sucrose metabolism in higher plants: localization and regulation of activity of key enzymes [J]. Critical Reviews in Plant Sciences 2000 ,19(1):31-67.
- [3] 王菲. 枳中性转化酶基因 Training 克隆及其功能分析 [D]. 武汉: 华中农业大学 2013.
- [5] 金微微 陈功楷 郜爱玲 筹. 瓯柑中性转化酶基因( CrInv1) 克隆及序列特征分析 [J]. 中国农学通报 2015 31(16): 105-110.
- [6] 巴沙尔(BACHAR DAHRO). 枳碱性/中性转化酶基因 PtrA/NINV 功能分析[D]. 武汉: 华中农业大学 2016.

- [7] 罗海玲 . 黄玉辉 . 张曼 . 等. 转化酶与甜瓜果实膨大及糖分积累相关研究[J]. 南方农业学报 2011 . 42(4): 384 387.
- [8] Sturm A. Invertases: primary structures, functions and roles in plant development and sucrose partitioning [J]. Plant Physiol, 1999, 121(1):1-7.
- [9] Welham T Pike J Horst I et al. A cytosolic invertase is required for normal growth and cell development in the model legume, Lotus japonicus [J]. J Exp Bot , 2009 , 60: 3353 3365.
- [10] Yao Y, Geng MT, Guo JC, et al. Genome-wide identification, expression and activity analysis of alkaline/neutral invertase gene family from cassava (*Manihot esculenta Crantz*) [J]. Plant Mol Biol, 2015, 3: 304-315.
- [11] 何世斌 柴连琴 潭珺隽 筹. 荧光原位杂交技术的研究进展[J]. 植物科学学报 2014 32(2):199-204.
- [12] 李鹏昊 曲婷 黄继华 等. 一种稳定的人卵母细胞染色体荧光原位杂交技术[J]. 癌变. 畸变. 突变 2016 28(2):131 133.
- [13] 王超 庄南生 汪英 爲. 木薯根尖染色体制片方法的优化[J]. 热带作物学报 2012(4):627-630.
- [14] 高和琼 汪英 金鸽 等. 橡胶树叶片染色体制片方法的优化[J]. 热带作物学报 2009 30(5):565-569.
- [15] 刘平平 王英 高和琼 等. 木薯淀粉合成相关基因 SBE 和 GBSS 的物理定位[J]. 分子植物育种 2015(10):2224-2229.
- [16] 叶光燕 汪英 高和琼 等. 木薯遗传图谱 9 号连锁群 NS701 NS272 标记的物理定位[J]. 分子植物育种 2015 (10): 2243 2249.
- [17] Song Y C ,Gustafson J P. The physical location of fourteen RFLP markers in rice ( Oryza sativa L.) [J]. Theor Appl Genet , 1995, 90: 113-119.
- [18] 冯耀文 汪英 高和琼 等. 木薯 MeEF I 基因的原位 PCR 物理定位[J]. 热带生物学报 2011 2(2):129-132.
- [19] 冯耀文. 木薯 SBE II 和 MeEF I 基因物理定位的研究 [D]. 海口: 海南大学 2011.
- [20] 李晶晶 王英 高和琼 等. 木薯蔗糖转运蛋白(SUT)家族基因的染色体物理定位[J]. 分子植物育种 2016 (4):794-802.

## Chromosome Physical Location of 11 Members of Alkaline or Neutral Invertase Gene Family in Cassava

ZHU Liguang<sup>1,2</sup>, LIU Pingping<sup>1</sup>, OU Xiangmei<sup>1</sup>, WANG Ying<sup>1</sup>, GAO Heqiong<sup>1</sup>, ZHUANG Nansheng<sup>1</sup>
(1. Institute of Tropical Agriculture and Forestry, Hainan University, Haikou, Hainan 570228;

2. Tropical Crops Genetic Resources Institute, Chinese Academy of Tropical Agricultural Sciences, Danzhou, Hainan 571737)

Abstract: Alkaline or neutral invertase (N/A-Inv) is a key enzyme for starch synthesis process in cassava. Chromosome specimens were prepared from the bronze-coloured tender leaves of cassava variety SC6, and 11 members of the cassava neutral or alkaline invertase gene family were physically localized by fluorescence in situ hybridization (FISH) and in situ PCR. The results showed that genes MeNINV5, MeNINV9 and MeNINV10 were located on the chromosome 4. MeNINV9 and MeNINV10 had percentage distances of 68.52 and 95.35 from the signal locus to the centromere on the short arm, respectively, and MeNINV5 had a percentage distance of 22.71 from the signal locus to the centromere on the long arm. MeNINV4 and nINV1 genes were located on the long arm of chromosome 6, and their percentage distances from the signal locus to the centromere are 43.16 and 80.71, respectively; MeNINV6 and MeNINV7 genes were located on the long arms of chromosome 7 and 17, respectively, and their percentage distances from the signal locus to the centromere are 15.38 and 57.97, respectively; MeNINV1, MeNINV2, MeNINV3 and MeNINV8 genes were located on the short arms of chromosome 11, 9, 5 and 16, respectively, and their percentage distances from the signal locus to the centromere were 40.10,51.88, 91.75 and 76.33, respectively. The linkage relationship was discussed between the N/A-Inv gene family and other genes located on cassava chromosomes.

Keywords: Cassava; N/A-Inv gene family; FISH; in situ PCR; physical localization